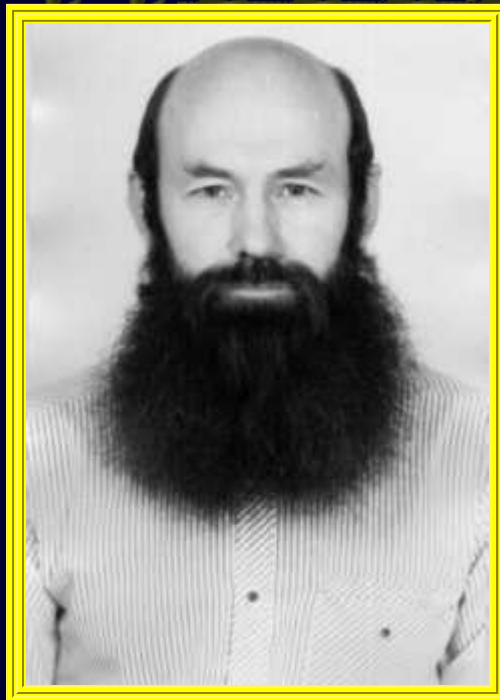


ЭНЕРГОИНФОРМАЦИОННЫЕ ПРИНЦИПЫ ПРОГНОЗИРОВАНИЯ, КАРТОГРАФИЧЕСКОГО МОНИТОРИНГА И ПРЕДОТВРАЩЕНИЯ ЧРЕЗВЫЧАЙНЫХ СИТУАЦИЙ.

Директор, Президент Красноярского отделения Международной Академии энергоинформационных наук /МАЭН/, член-корреспондент МАЭН, профессор аниологии, кандидат биологических наук Юрий СВЕТОГОРОВ.



В институте аниологии Красноярского отделения Международной Академии Энергоинформационных Наук проводятся исследования энергетических /тонкополевы^х излучений/ и информационных параметров различных объектов живой и неживой природы. Автором разработаны новые, нетрадиционные подходы с использованием методов аниологии /синонимы: биоинформатики, парапсихологии/ для решения задач в области прогнозирования, картографического мониторинга и предотвращения чрезвычайных ситуаций. Эти

работы открывают принципиально новые возможности в энергоинформационных исследованиях объектов с целью прогнозирования ЧС техногенного, природного и экологического характера, при количественной и качественной оценке прошлых, настоящих и будущих событий, при изучении динамики тонкополевых структур /событий/ различной периодичности, а также при корректировании и управлении ходом отдельных природных, прежде всего, метеорологических явлений локального и регионального масштабов.

Краткие концептуальные и методические особенности и результативность прогнозирования событий. Многолетняя апробация автором методов ясновидения и психометрии позволила сфор-

мулировать некоторые фундаментальные принципы прогнозирования /предсказания/ событий. Установлено, что объекты физической и фантомной природы обладают конкретной анергоинформационной /анио/ структурой, которой свойственны неизбежность действия, стабильность и ориентированность /направленность/ хода динамических процессов во времени и в пространстве.

Объекты прогноза могут быть представлены в виде фотографий, схем или названий, при этом могут быть использованы аэрокосмические снимки и картографические материалы. Исследование прошлых, настоящих и будущих событий проводится для различных объектов с любым шагом прогноза. Достоверность прогноза контролируется многократной повторностью эксперимента, использованием методов математической статистики и наступлением фактического события. Репрезентативность выборки в прогнозах оценивается при доверительной вероятности $P=0,95-0,999$.

Разработанные автором принципы нашли применение в спецкурсе по основам аниологии /анергоинформационного обмена в природе и в обществе/ в Красноярской высшей школе МВД РФ в течение 1995-1997 гг.; при прогнозировании результатов выборов президента России в 1996 году, в частности, при составлении карты по анергоинформационному рейтингу кандидата в президенты Б.Н. Ельцина в Красноярском крае в масштабе 1:2000000 и г. Красноярске в масштабе 1:50000, при графическом прогнозировании рейтинга на каждый день для г. Красноярска и представлении результатов голосования в г. Красноярске, Красноярском крае и России за 1,5 месяца до официальных выборов /Заказчик - Народный дом/; при прогнозировании транспортных аварий /катастроф/ для одной из красноярских авиакомпаний в течение 1995 г.; при прогнозировании экстремальных ситуаций в жизнедеятельности юридических и физических лиц. В работе использовались фотографии и фамилии И.О. людей и номера бортов воздушных судов. Совпадение прогнозов с фактическими событиями составляет 70-100 % от всего числа подобных исследований. Результаты прогнозов освещались в средствах массовой информации г. Красноярска.

ется пример прогнозирования гидродинамических аварий на плотинах ГЭС. В результате сканирования энергии тонкополевых излучений плотин ГЭС, изображенных на фотографиях, составлен графический прогноз для Красноярской ГЭС на период 1966-2000 гг. с шагом прогноза 1 год и на период 2000-3000 гг. с шагом прогноза 10 лет; для плотины Саяно-Шушенской ГЭС на период 1978-2000 гг. с шагом прогноза 1 год и на период 2000-3000 гг. с шагом прогноза 10 лет.

Установлена обратная корреляция между величиной энергии тонкополевого излучения плотин ГЭС и среднегодовым притоком воды к створу /по данным краевой гидрометеослужбы/ за период работы ГЭС. Коэффициент обратной корреляции для Красноярской ГЭС составляет $r = -0,34$ /при $n = 31$ год/ и Саяно-Шушенской ГЭС $r = -0,34$ /при $n = 19$ лет/. Оба коэффициента корреляции достоверны при $P = 0,999$. Таким образом, увеличение среднегодового притока воды к створу ГЭС приводит к снижению тонкополевого излучения плотин. Значительные массы воды "гасят" тонкополевое излучение плотины, возникающее в самой плотине в связи со особенностями гидрогеологических, тектонических и других еще не изученных нами условий размещения плотин. Снижение среднегодового притока воды к створу ГЭС, по нашим расчетным данным, от уровня 1,25 - 1,30 куб. м./сек. является критическим и может вызвать аварийные ситуации в отношении прочности плотины.

Изучение динамики тонкополевого излучения и информационной структуры плотин ГЭС показало, что разрушение Красноярской ГЭС следует ожидать в 2940 году в результате технического износа плотины, прорыв плотины Саяно-Шушенской ГЭС с образованием волн прорыва и катастрофических затоплений наступит в 2196 году в результате 8-9 бального землетрясения в районе размещения плотины. В предаварийный период среднегодовой приток воды, начиная с 2190 года составит среднюю величину - 1,50000 куб. м./сек., что соответствует нормальному режиму работы Саяно-Шушенской ГЭС. В течение 20 лет /2200-2220 годы/ после прогнозируемой гидродинамической аварии на Саяно-Шушенской ГЭС сохранится высокий уровень тонкополевого излучения плотины Красноярской ГЭС, при этом среднегодовой приток к створу приблизится к критической отметке из-за

аварийного сброса воды и составит 1,26-1,31 куб. м. /сек. В последующие годы согласно Графическому прогнозу наблюдается выравнивание работы Красноярской ГЭС.

Исследования ЧС природного характера. Прогнозирование и картографирование гидрологических и геофизических опасных явлений. Автором составлен цветной оригинал карты по аномалиям геоанергетических полей на территории СНГ в масштабе 1:8000000 на основе биолокационной съемки земной поверхности, изображенной на географической карте одноименного масштаба. Карта была представлена на юбилейной биолокационной конференции в Москве в 1993 году. Картографическая информация представлена в виде изолиний. Объективность карты контролируется многократной повторностью биолокационной съемки, данными полевых / наземных, аэровизуальных / и картографических исследований с использованием тематических карт / ландшафтных, геофизических и др./.

Геоанергетическая карта характеризует пространственную структуру энергоактивных полей земной коры, связанных с особенностями разломно-блочного строения земной коры. Установлено, что вздымающие блоки земной коры характеризуются положительной / ЯН /, а опускающиеся блоки и различные депрессии - отрицательной / ИНЬ / энергией. Геоанергетические аномалии связаны с геомагнитными полями, тепловым излучением, плотностью линеаментов земной коры, гидрологическими, тектоническими, геоморфологическими, лесоценотическими особенностями картировуемых территорий.

Наибольший интерес на карте представляет отрицательная геоанергетическая аномалия, охватывающая территорию Аравьского, Каспийского и Черного морей, устье рек Волга и Урал и участки суши, соединяющие указанные моря, которые представляют единую геоанергетическую структуру. Усыхание Аравьского моря связано, очевидно, с наклоном земных блоков в направлении от Аравьского к Черному морю. В связи с этим следует ожидать повышение уровня Каспийского моря и оводненности прилегающих территорий и устья рек Волги и Урала, примерно, до городов Самара и Уральск, прогрессирующего процесса засоления камызких

степей и значительного опускания Черного моря. Значительная активизация геофизических опасных явлений /вулканической деятельности, землетрясений/ на Дальнем Востоке связана со структурами положительной /ЯН/ анергии.

Полярность и величина, динамика /импульсивность/ геоанергетических аномалий могут оказать существенное влияние на психоанергетическое состояние человека. Нашими работами и другими исследованиями установлено, что в подобных аномалиях наблюдается снижение иммунитета и подавление гормональной системы, нарушения координации движения и кратковременная потеря памяти, принятие неадекватных решений, особенно в экстремальных условиях. В геоанергетических аномалиях следует ожидать транспортные аварии, возникновение пожаров, аварий с угрозой выбросов радиоактивных и биологически активных веществ, внезапное обрушение зданий, аварии на коммунальных системах жизнеобеспечения, аварии на очистных и гидродинамических сооружениях.

Прогнозируемые автором по геоанергетической карте социально-политические конфликты подтверждаются событиями на территории Кавказа и Таджикистан-Афганистана. Развитие социально-политических конфликтов ожидается в Забайкалье, Якутии, Ханты-Мансийске и Ямало-Ненецком административных районах.

Геоанергетические карты составлены автором на Карелию в масштабе 1:500000 /Заказчик - Международное бюро "Спутник"/, цветные карты изданы на г. Красноярск в масштабе 1:50000 и г. Ачинск. Данная методика позволяет проводить картографический мониторинг энергоактивных зон земной коры, устанавливать динамические /пульсирующие/ энергоактивные структуры, проводить ретроспективный анализ, краткосрочный и долгосрочный прогноз состояния энергоактивных структур земной коры.

Исследование ЧС экологического характера. Прогнозирование и картографирование состояние растительности на обширной территории. Объектом исследования были лесные массивы, усыхающие в зоне промывбросов Норильского металлургического комбината. Для составления лесофитопатологической карты использовались спектрозональные и черно-белые зональные космо-

фотоснимки различных годов съемки в масштабе 1:1000000. Для биомониторингового дешифрирования автором был взят спектрональный космический снимок летней съемки /24.07.1982 г./. Установлено, что леса различного санитарного состояния обладают определенной полярностью и величиной анергетических /тонкополевых/ излучений. Наиболее здоровые леса /1-2 категории состояния/ характеризуются положительной /ЯН/ энергией, значительно ослабленные и погибшие леса /3-5 категории состояния/ - отрицательной /ИНЬ/ энергией. Наибольшие величины полярных энергий лесов отмечаются для 1 и 5 категорий состояния.

Пространственная структура лесопатологий, изображенная на лесофитопатологической карте весьма удовлетворительно совпадает с границами карты размещения лесов различного состояния, составленной Бранской специализированной лесоустроительной экспедицией В/О "Леспроект" за период 1976-1989 гг. на основе наземных /маршрутных, стационарных/ и аэровизуальных исследований.

Исследование тонкополевого излучения лесов различного санитарного состояния по аэрокосмическим снимкам /и топографическим картам/ открывает перспективу в осуществлении картографического мониторинга состояния лесов, поврежденных промышленными предприятиями, а также автомо- и фитовредителями, пожарами, буревестниками, не прибегая к дорогостоящему наземному и аэровизуальному наблюдению, позволяющего в короткие сроки при незначительных финансовых затратах получить первоначальную картографическую информацию о санитарном состоянии лесов на любой территории страны.

Предотвращение ЧС природного характера. По данному направлению работ приводятся примеры ликвидации лесных пожаров с помощью искусственно вызываемых дождей /1994 г./, гидрологических опасных явлений, как наводнение /1997 г./ и метеорологических явлений, как сильные дожди в сеноуборочный период /1995-1997 гг./. Практическая реализация указанных направлений осуществлялась применением методов ментального воздействия на аниоструктуры региона.

Результативность борьбы с лесными пожарами контролируется количеством /и площадью/ действующих и потушенных очагов /по данным лесной охраны и авиабазы/, количеством выпавших осадков и образованием облачности, регистрируемых наземными и космическими средствами контроля /по данным гидрометеослужбы/. Нами выполнялся договор с красноярской авиабазой /от 02.08.1994 г./, по которому в течение 3-х суток /2-5 августа/ требовалось вызвать не менее 10 м осадков в лесах Нижнего Приангарья.

В условиях обширного антициклона на территории Западной и Восточной Сибири были достигнуты следующие результаты: в Богучанском районе 03.08 - 0,5 мм, 04.08 - 6 мм и 05.08 - 7 мм, Мотыгинском районе 04.08 - 0,3 мм и Енисейском районе 06.08 - 0,9 мм.

В весенний период 1997 года специальные краевые службы прогнозировали высокий уровень воды /наводнение/ в связи со значительным накоплением снега /превышающим норму в несколько раз/ в бассейне реки Енисей, особенно в южных районах Красноярского края. Снижение уровня наводнения достигалось нами созданием ясной погоды, способствующей активному таянию /и испарению/ снежного покрова на территории Республики Хакасия и Тыва, а также южной части Красноярского края. Результат этой работы оказался положительным - в течение 1,5 месяцев удерживалась ясная безоблачная погода и весеннее таяние снега прошло без значительного ущерба для населения края.

В сеноуборочный период /июль-август/ в Балахтинском районе Красноярского края в течение нескольких лет проводились эксперименты по ментальному воздействию на сплоисто-дождевые, кучевые и кучево-дождевые облака. Установлено, что указанные формы облаков поддаются изменению направления движения, рассеиванию по небу до полного исчезновения отдельных облаков. Результативность рассеивания облаков зависит от толщины, высоты нижней границы и распространенности облаков по небу. Продолжительность активного воздействия на облака до достижения конечного результата составляет 5-30 минут. Специально созданные аниоструктуры могут работать в "автоматическом" ре-

жиме по удержанию ясной погоды даже при сплошной облачности над конкретной территорией до 15 часов. После снятия такой структуры, примерно через 1 час может возобновиться выпадение осадков.

Эксперименты подтверждают возможность влияния на метеорологические условия с целью снижения или исключения ЧС и необходимость продолжения целенаправленных исследований по управлению погодой в региональном и локальном масштабах.

Web-МАСТЕР САЙТА АВАК АВАКЯН.

Все права защищены.

Права на опубликованное на сайте принадлежат
Красноярскому Институту Энзимологии и авторам
публикаций. А посему при цитировании материалов
сайта УКАЗЫВАНИЕ АВТОРОВ статей
И ССЫЛКА НА НАШ САЙТ ОБЯЗАТЕЛЬНЫ.

<http://www.eniology.ktk.ru>